

МОСКОВСКИЙ ГОСУДАРСТВЕННЫЙ  
УНИВЕРСИТЕТ  
имени М.В.Ломоносова  
Факультет вычислительной математики и кибернетики

Компьютерный практикум по учебному курсу  
«Технологическая практика»

Разработка параллельного алгоритма для решения  
системы линейных уравнений методом отражений

ОТЧЕТ  
о выполненном задании  
студента 323 учебной группы факультета ВМК МГУ  
Новикова Дмитрия Андреевича

Москва  
2022 год

# Содержание

<b>1. Постановка задачи</b>	<b>3</b>
<b>2. Цели и задачи практической работы</b>	<b>3</b>
<b>3. Алгоритм для решения системы линейных уравнений методом отражений</b>	<b>4</b>
<b>4. Запуск и компиляция программы</b>	<b>6</b>
4.1. OpenMP . . . . .	6
4.2. MPI . . . . .	6
<b>5. Результаты замеров времени выполнения</b>	<b>7</b>
<b>6. Анализ эффективности</b>	<b>10</b>
<b>7. Теоретическая оценка времени выполнения</b>	<b>12</b>
7.1. Распределение матрицы по процессам . . . . .	12
7.2. Приведение матрицы к верхнетреугольному виду . . . . .	12
7.3. Оратный ход метода Гаусса . . . . .	12
7.4. Итоговое время . . . . .	12

# 1. Постановка задачи

Одной из основных задач вычислительной линейной алгебры является задача решения систем линейных уравнений (СЛАУ). Вычисления, связанные с решением СЛАУ применяются во многих сферах человеческой деятельности.

Целью данной работы является разработка программы, вычисляющей решение системы линейных алгебраических уравнений больших размерностей. Используя технологии OpenMP и MPI требуется разработать алгоритм, позволяющий достаточно ускорить этот процесс. За основу берется метод отражений решения СЛАУ.

## 2. Цели и задачи практической работы

- 1) Реализовать OpenMP-версию параллельного алгоритма.
- 2) Реализовать MPI-версию параллельного алгоритма.
- 3) Протестировать работу алгоритма на кластера Polus.
- 4) Привести сравнительные результаты работы OpenMP и MPI версий алгоритма (таблицы и графики).

### 3. Алгоритм для решения системы линейных уравнений методом отражений

Линейная система  $n$  уравнений с  $n$  неизвестными  $x_1, x_2, \dots, x_n$  может быть представлена в виде:

$$\begin{cases} a_{11}x_1 + a_{12}x_2 + \dots + a_{1n}x_n = b_1 \\ a_{21}x_1 + a_{22}x_2 + \dots + a_{2n}x_n = b_2 \\ \dots \\ a_{n1}x_1 + a_{n2}x_2 + \dots + a_{nn}x_n = b_n \end{cases}$$

В более кратком (матричном) виде система имеет вид:

$$A \cdot x = b$$

,где  $A$  - плотная вещественная матрица размера  $n \times n$ , векторы  $b$  и  $x$  состоят из  $n$  элементов.

Матрицей отражения называется матрица:

$$U(w) = I - 2ww^T$$

,где  $I$  - единичная матрица размера  $n \times n$ ,  $w$  вектор-столбец такой, что  $\|w\| = 1$ , вектор  $w^T$  - транспонированный вектор  $w$ .

Через  $\mathbf{a}^{(k)} = (a_{kk}, \dots, a_{nk})$  обозначается вектор из  $(n - k + 1)$  элементов  $k$ -ого столбца матрицы  $A$ , тогда существует вектор:

$$w^{(k)} = \pm \frac{\mathbf{a}^{(k)} - \|\mathbf{a}^{(k)}\|e_k}{\|\mathbf{a}^{(k)} - \|\mathbf{a}^{(k)}\|e_k\|}$$

,где  $e_k = (1, 0, \dots, 0)$  вектор из  $(n - k + 1)$  элементов.

Умножая левая и правая части системы уравнений  $A^{(k-1)} \cdot x = b^{(k-1)}$  на матрицу  $U^{(k)} = U(w^{(k)})$  слева, получается новая система уравнений  $A^{(k)} \cdot x = b^{(k)}$ , где  $A^{(k)} = U^{(k)}U^{(k-1)} \dots U^{(1)}A$ , а  $b^{(k-1)} = U^{(k)}U^{(k-1)} \dots U^{(1)}b$ .

$$A^{(k)} = \begin{pmatrix} \|\mathbf{a}^{(1)}\| & c_{12} & c_{13} & \dots & c_{1,k-1} & c_{1k} & c_{1,k+1} & \dots & c_{1n} \\ 0 & \|\mathbf{a}^{(2)}\| & c_{23} & \dots & c_{2,k-1} & c_{2k} & c_{2,k+1} & \dots & c_{2n} \\ 0 & 0 & \|\mathbf{a}^{(3)}\| & \dots & c_{3,k-1} & c_{3k} & c_{3,k+1} & \dots & c_{3n} \\ \vdots & \vdots & \vdots & \ddots & \vdots & \vdots & \vdots & \ddots & \vdots \\ 0 & 0 & 0 & \dots & \|\mathbf{a}^{(k-1)}\| & c_{k-1,k} & c_{k-1,k+1} & \dots & c_{k-1,n} \\ 0 & 0 & 0 & \dots & 0 & \|\mathbf{a}^{(k)}\| & c_{k,k+1} & \dots & c_{k,n} \\ 0 & 0 & 0 & \dots & 0 & 0 & a_{k+1,k+1} & \dots & a_{k+1,n} \\ \vdots & \vdots & \vdots & \ddots & \vdots & \vdots & \vdots & \ddots & \vdots \\ 0 & 0 & 0 & \dots & 0 & 0 & a_{n,k+1} & \dots & a_{n,n} \end{pmatrix}$$

После  $n$  шагов процесса система примет вид  $R \cdot x = y$ , где  $R$  - верхнетреугольная матрица.  $R = A^{(n)} = U^{(n)}U^{(n-1)} \dots U^{(1)}A$ ,  $y = b^{(n)} = U^{(n)}U^{(n-1)} \dots U^{(1)}b$ . Полученную систему можно решить используя обратный ход метода Гаусса.

Обратный ход последовательно проходит по всем строкам в порядке убывания их номеров (от  $n$  до 1). Для каждой такой строки производится вычисление соответствующей координаты вектора  $x$  по следующим формулам:

$$x_n = \frac{y_n}{r_{nn}},$$

$$x_i = \frac{y_i - \sum_{j=i+1}^n r_{ij}x_j}{r_{ii}}, i = \overline{n-1, 1}$$

## 4. Запуск и компиляция программы

Запуск и компиляция программ проводились на вычислительном комплексе IBM Polus, исходный код программы находился в файле `parallel_algorithm.c`.

### 4.1. OpenMP

1) Компиляция:

```
xlc_r -Wall -Werror -qsmp=omp slae_generation.c -o main -lm
```

2) Запуск:

Для постановки задач использовался специально разработанный скрипт `mpisubmit.pl`.

```
mpisubmit.pl -t[число потоков] ./main[параметры исполняемого файла]
```

Отладка и тестирование проводились на своем компьютере.

1) Компиляция:

```
CFLAGS = -Wall -Werror -O0 -fopenmp -lpthread  
gcc $(CFLAGS) parallel_algorithm.c -o main -lm -fsanitize=address
```

2) Запуск:

```
./main[параметры исполняемого файла]
```

### 4.2. MPI

1) Компиляция:

```
mpixlc -Wall -Werror parallel_algorithm.c -o main -lm
```

2) Запуск:

Для постановки задач использовался специально разработанный скрипт `mpisubmit.pl`.

```
mpisubmit.pl -p[число процессов] ./main[параметры исполняемого файла]
```

Отладка и тестирование проводились на своем компьютере.

1) Компиляция:

```
CFLAGS = -Wall -Werror -O0  
mpicc $(CFLAGS) parallel_algorithm.c -o main -lm -fsanitize=address
```

2) Запуск:

```
mpirun -np[число процессов] ./main[параметры исполняемого файла]
```

## 5. Результаты замеров времени выполнения

Size	500		1000	
$Type(T_{num})$	MPI (1)	OpenMP (1)	MPI (1)	OpenMP (1)
$T_1$	6.871283e-01	1.253363e-01	5.588139e+00	9.410177e-01
$T_2$	1.719333e-03	8.506667e-04	5.364667e-03	2.321667e-03
$T_{all}$	6.888477e-01	1.261870e-01	5.593504e+00	9.433393e-01
$Sol_{norm}$	0.000000e+00	1.023740e-10	0.000000e+00	7.190720e-10
$Res_{norm}$	1.873230e-07	3.229460e-09	3.436420e-07	9.689020e-09
$Type(T_{num})$	MPI (2)	OpenMP (2)	MPI (2)	OpenMP (2)
$T_1$	3.871730e-01	7.659967e-02	2.739257e+00	5.015967e-01
$T_2$	2.214000e-03	2.217000e-03	4.804333e-03	5.073667e-03
$T_{all}$	3.893870e-01	7.881667e-02	2.744062e+00	5.066703e-01
$Sol_{norm}$	0.000000e+00	1.289760e-10	0.000000e+00	7.371390e-09
$Res_{norm}$	7.740070e-08	2.703250e-09	4.699960e-07	8.091670e-09
$S(T_{num})$	1.769057e+00	1.601019e+00	2.038403e+00	1.861840e+00
$E(T_{num})$	8.845283e-01	8.005096e-01	1.019202e+00	9.309202e-01
$Type(T_{num})$	MPI (4)	OpenMP (4)	MPI (4)	OpenMP (4)
$T_1$	2.416713e-01	5.784100e-02	1.406691e+00	3.265320e-01
$T_2$	2.396667e-03	2.659667e-03	4.282667e-03	5.513667e-03
$T_{all}$	2.440680e-01	6.050067e-02	1.410974e+00	3.320457e-01
$Sol_{norm}$	0.000000e+00	0.000000e+00	0.000000e+00	1.210300e-10
$Res_{norm}$	8.679310e-08	2.556380e-09	3.594950e-07	7.713900e-09
$S(T_{num})$	2.822360e+00	2.085713e+00	3.964287e+00	2.840993e+00
$E(T_{num})$	7.055899e-01	5.214281e-01	9.910716e-01	7.102482e-01
$Type(T_{num})$	MPI (8)	OpenMP (8)	MPI (8)	OpenMP (8)
$T_1$	2.008533e-01	5.154833e-02	7.733993e-01	2.763010e-01
$T_2$	2.746667e-03	3.247333e-03	4.073667e-03	6.540000e-03
$T_{all}$	2.036000e-01	5.479567e-02	7.774730e-01	2.828410e-01
$Sol_{norm}$	0.000000e+00	0.000000e+00	0.000000e+00	1.732760e-09
$Res_{norm}$	7.604410e-08	2.514710e-09	3.649170e-07	7.165570e-09
$S(T_{num})$	3.383338e+00	2.302865e+00	7.194467e+00	3.335228e+00
$E(T_{num})$	4.229173e-01	2.878581e-01	8.993084e-01	4.169035e-01
$Type(T_{num})$	MPI (16)	OpenMP (16)	MPI (16)	OpenMP (16)
$T_1$	1.703210e-01	5.222367e-02	5.113233e-01	1.982547e-01
$T_2$	4.041667e-03	4.163333e-03	4.648333e-03	8.575000e-03
$T_{all}$	1.743627e-01	5.638700e-02	5.159717e-01	2.068297e-01
$Sol_{norm}$	0.000000e+00	0.000000e+00	0.000000e+00	1.824540e-09
$Res_{norm}$	8.033700e-08	2.515810e-09	3.501280e-07	7.252840e-09
$S(T_{num})$	3.950660e+00	2.237874e+00	1.084072e+01	4.560948e+00
$E(T_{num})$	2.469163e-01	1.398671e-01	6.775450e-01	2.850592e-01

Size	2000		3000	
$Type(T_{num})$	MPI (1)	OpenMP (1)	MPI (1)	OpenMP (1)
$T_1$	4.643742e+01	7.929052e+00	1.599954e+02	2.758517e+01
$T_2$	2.103133e-02	6.271000e-03	5.493233e-02	1.161200e-02
$T_{all}$	4.645845e+01	7.935323e+00	1.600504e+02	2.759678e+01
$Sol_{norm}$	0.000000e+00	2.813760e-10	0.000000e+00	2.432480e-09
$Res_{norm}$	1.771470e-06	2.693160e-08	6.263430e-06	4.946880e-08
$Type(T_{num})$	MPI (2)	OpenMP (2)	MPI (2)	OpenMP (2)
$T_1$	2.296636e+01	3.931020e+00	7.953244e+01	1.374619e+01
$T_2$	1.463400e-02	1.102533e-02	3.289267e-02	1.807367e-02
$T_{all}$	2.298099e+01	3.942046e+00	7.956534e+01	1.376426e+01
$Sol_{norm}$	0.000000e+00	1.219450e-09	0.000000e+00	1.570870e-09
$Res_{norm}$	2.067800e-06	2.397690e-08	4.276880e-06	4.340320e-08
$S(T_{num})$	2.021603e+00	2.012996e+00	2.011559e+00	2.004959e+00
$E(T_{num})$	1.010802e+00	1.006498e+00	1.005779e+00	1.002480e+00
$Type(T_{num})$	MPI (4)	OpenMP (4)	MPI (4)	OpenMP (4)
$T_1$	1.109976e+01	2.181314e+00	3.846372e+01	7.218577e+00
$T_2$	1.049767e-02	1.207833e-02	2.045800e-02	1.948467e-02
$T_{all}$	1.111025e+01	2.193393e+00	3.848418e+01	7.238062e+00
$Sol_{norm}$	0.000000e+00	2.153600e-10	0.000000e+00	1.566540e-09
$Res_{norm}$	1.802590e-06	2.222400e-08	3.878630e-06	4.092040e-08
$S(T_{num})$	4.181583e+00	3.617830e+00	4.158861e+00	3.812731e+00
$E(T_{num})$	1.045396e+00	9.044576e-01	1.039715e+00	9.531827e-01
$Type(T_{num})$	MPI (8)	OpenMP (8)	MPI (8)	OpenMP (8)
$T_1$	5.689080e+00	1.825700e+00	2.004854e+01	4.740271e+00
$T_2$	8.441333e-03	1.396433e-02	1.654267e-02	2.187533e-02
$T_{all}$	5.697522e+00	1.839664e+00	2.006508e+01	4.762146e+00
$Sol_{norm}$	0.000000e+00	5.639510e-10	0.000000e+00	1.796760e-09
$Res_{norm}$	1.749150e-06	2.098650e-08	4.085013e-06	4.002760e-08
$S(T_{num})$	8.154151e+00	4.313462e+00	7.976563e+00	5.795031e+00
$E(T_{num})$	1.019269e+00	5.391828e-01	9.970703e-01	7.243788e-01
$Type(T_{num})$	MPI (16)	OpenMP (16)	MPI (16)	OpenMP (16)
$T_1$	3.066948e+00	1.091246e+00	1.145867e+01	3.690117e+00
$T_2$	8.284333e-03	1.743400e-02	1.553233e-02	2.637633e-02
$T_{all}$	3.075232e+00	1.108680e+00	1.147421e+01	3.716494e+00
$Sol_{norm}$	0.000000e+00	4.433740e-10	0.000000e+00	1.691290e-09
$Res_{norm}$	1.842920e-06	2.127300e-08	4.088343e-06	3.801050e-08
$S(T_{num})$	1.510730e+01	7.157449e+00	1.394871e+01	7.425489e+00
$E(T_{num})$	9.442062e-01	4.473405e-01	8.717943e-01	4.640930e-01



Size	5000	
$Type(T_{num})$	MPI (1)	OpenMP (1)
$T_1$	8.938382e+02	3.282270e+02
$T_2$	1.694940e-01	2.840400e-02
$T_{all}$	8.940077e+02	3.282554e+02
$Sol_{norm}$	0.000000e+00	7.115230e-10
$Res_{norm}$	1.475310e-05	1.062330e-07
$Type(T_{num})$	MPI (2)	OpenMP (2)
$T_1$	3.834333e+02	1.649767e+02
$T_2$	8.819833e-02	3.505700e-02
$T_{all}$	3.835215e+02	1.650117e+02
$Sol_{norm}$	0.000000e+00	1.127420e-09
$Res_{norm}$	1.188690e-05	9.299140e-08
$S(T_{num})$	2.331049e+00	1.989285e+00
$E(T_{num})$	1.165525e+00	9.946426e-01
$Type(T_{num})$	MPI (4)	OpenMP (4)
$T_1$	1.859774e+02	8.414319e+01
$T_2$	4.930833e-02	3.441400e-02
$T_{all}$	1.860267e+02	8.417760e+01
$Sol_{norm}$	0.000000e+00	1.084650e-09
$Res_{norm}$	1.102550e-05	8.797520e-08
$S(T_{num})$	4.805803e+00	3.899557e+00
$E(T_{num})$	1.201451e+00	9.748893e-01
$Type(T_{num})$	MPI (8)	OpenMP (8)
$T_1$	9.459825e+01	4.554694e+01
$T_2$	3.324500e-02	3.797000e-02
$T_{all}$	9.463149e+01	4.558491e+01
$Sol_{norm}$	0.000000e+00	7.401560e-10
$Res_{norm}$	1.200040e-05	8.723150e-08
$S(T_{num})$	9.447253e+00	7.200965e+00
$E(T_{num})$	1.180907e+00	9.001207e-01
$Type(T_{num})$	MPI (16)	OpenMP (16)
$T_1$	5.716643e+01	3.002337e+01
$T_2$	2.987400e-02	4.502533e-02
$T_{all}$	5.719631e+01	3.006840e+01
$Sol_{norm}$	0.000000e+00	1.835970e-09
$Res_{norm}$	1.182980e-05	8.366810e-08
$S(T_{num})$	1.563051e+01	1.091696e+01
$E(T_{num})$	9.769071e-01	6.823098e-01

## 6. Анализ эффективности

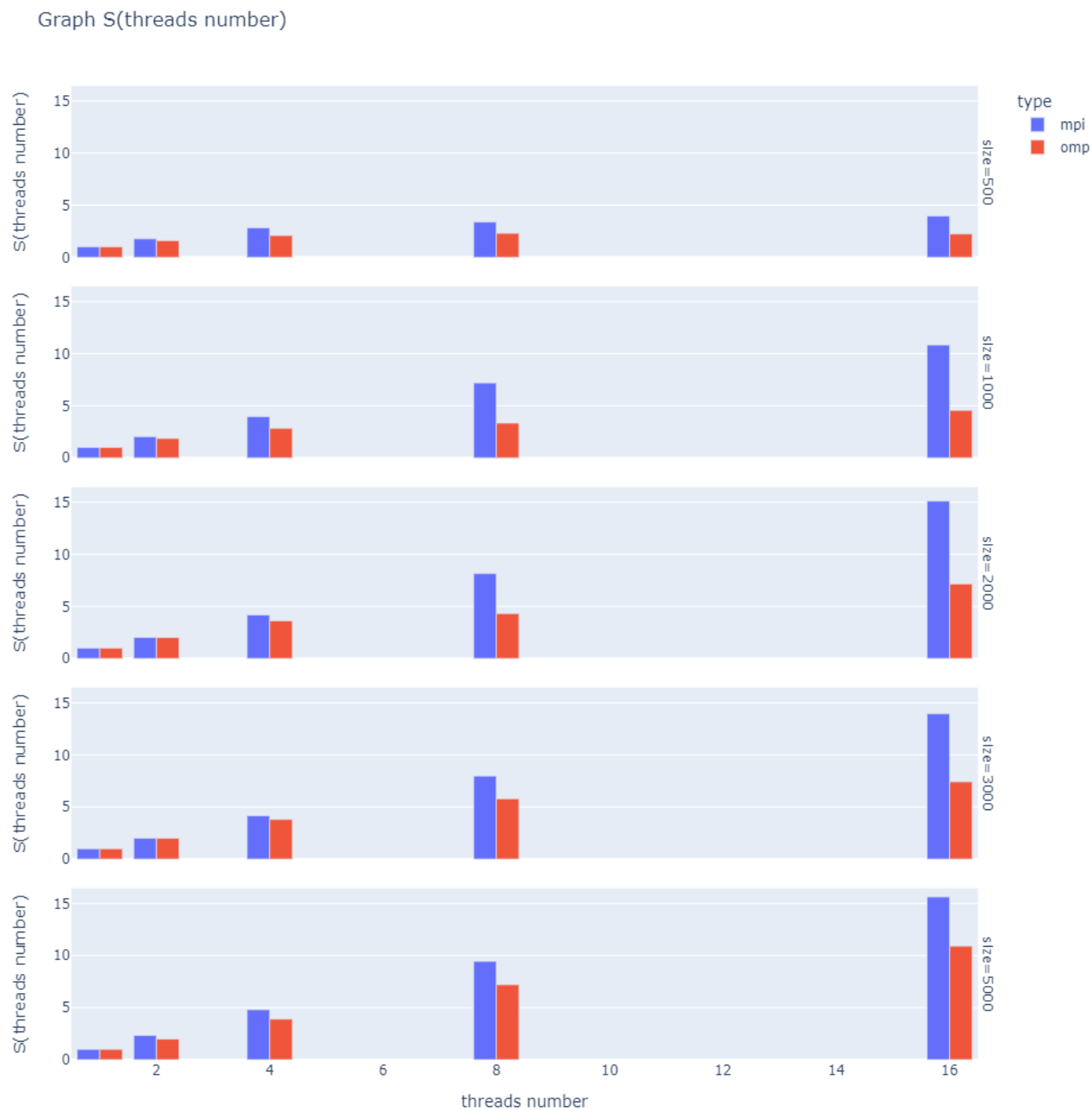


Рис. 1:  $S(\text{threads number})$

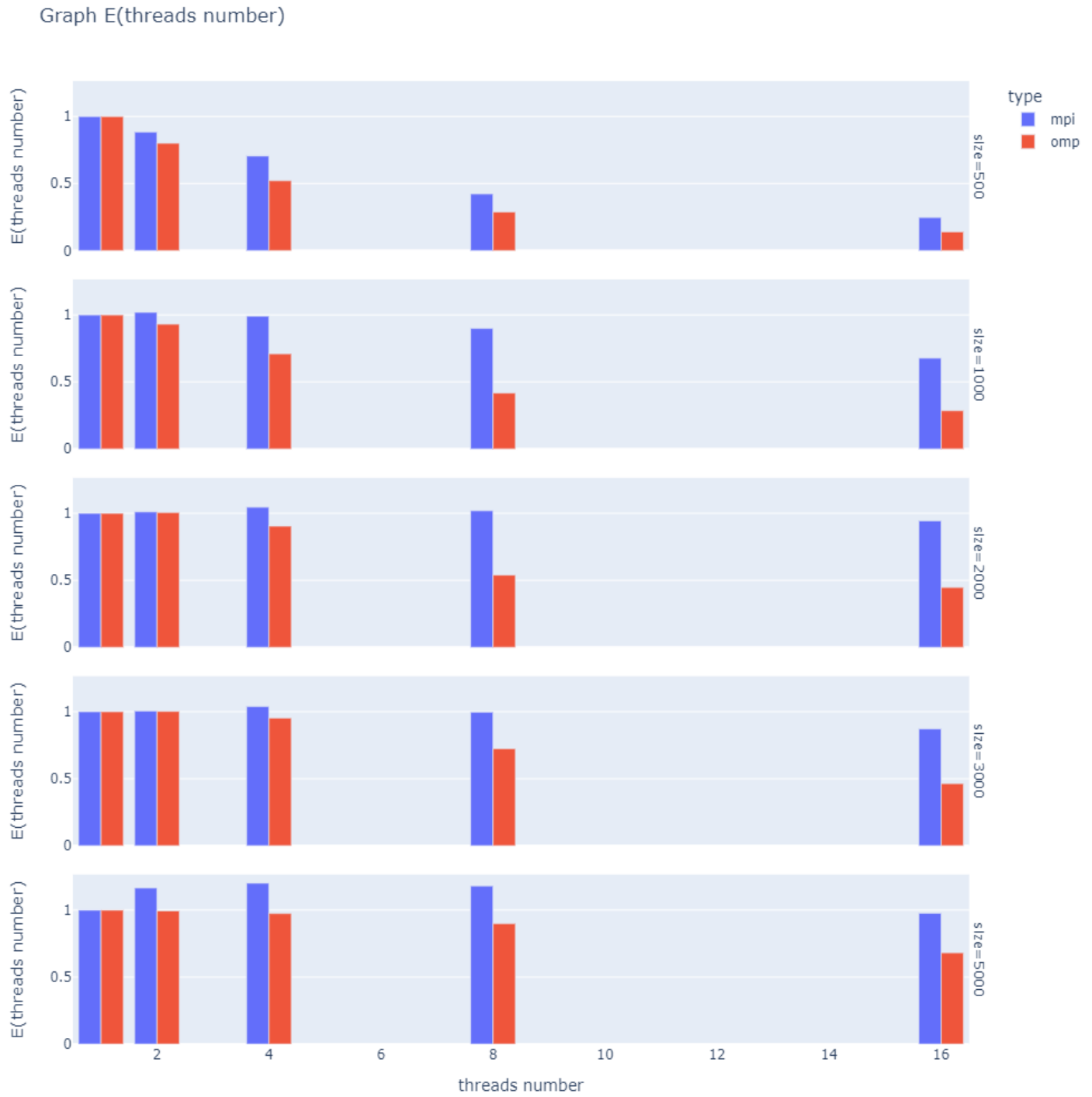


Рис. 2:  $E(\text{threads number})$

## 7. Теоретическая оценка времени выполнения

$A$  - матрица размера  $n \times n$ , задача запускается на  $p$  процессах. Время выполнения сложения или умножения двух чисел равно  $\tau_c$ , а время затрачиваемое на передачу одного числа от одного процесса к другому равно  $\tau_s$ .

### 7.1. Распределение матрицы по процессам

Каждый процесс получает  $\frac{n}{p}$  столбцов матрицы  $A$ , затрачиваемое время:

$$\frac{n}{p} * n \log_2(p) * \tau_s$$

### 7.2. Приведение матрицы к верхнетреугольному виду

Рассмотрим  $k$  - шаг алгоритма.

Для вычисления вектора  $w$  потребуется  $(n - k)$  операций сложения,  $(n - k)$  - умножения и  $(n - k)$  - деления.

Сложность распространение вектора  $w$  по всем процессам составляет  $(n - k) \log_2(p)$  операций.

Для вычисления произведения матрицы отражения на подматрицу матрицы  $A$  размера  $(n - k) \times (n - k)$  потребуется  $2 * (n - k) * \frac{(n - k)}{p}$  операций сложения и столько же умножений.

Тогда затрачиваемое время всего процесса:

$$\sum_{k=1}^n (3 * (n - k) + 4 * (n - k) * \frac{(n - k)}{p}) * \tau_c + (n - k) \log_2(p) * \tau_s$$

### 7.3. Оратный ход метода Гаусса

Рассмотрим  $k$  - шаг алгоритма.

Время вычисления значения  $x_k$  вектора результата составляет:

$$2 * \frac{n}{p} * \tau_c + (p) * \tau_c + \log_2(p) * \tau_s$$

Тогда затрачиваемое время всего процесса:

$$\sum_{k=1}^n 2 * \frac{n}{p} * \tau_c + (p) * \tau_c + \log_2(p) * \tau_s$$

### 7.4. Итоговое время

$$\begin{aligned} & \frac{n * (8n^2 + 9np + 6p^2 - 9p + 4) * \tau_c}{6p} + \frac{n * (n + 1) \log_2(p) * \tau_s}{2} \approx \\ & \approx \left( \frac{4n^3}{3p} + O(n^2/p) \right) * \tau_c + \left( \frac{n^2 * \log_2(p)}{2} + O(n) \right) * \tau_s \end{aligned}$$